

# Sprawozdanie z Listy nr 5

Rozwiązywanie układów równań liniowych o strukturze blokowej

Sara Żyndul  
279686

5 stycznia 2026

## Spis treści

<b>1 Przedstawienie problemu</b>	<b>2</b>
<b>2 Struktura pamiętająca macierz</b>	<b>2</b>
<b>3 Metoda eliminacji Gaussa</b>	<b>2</b>
3.1 Algorytm bazowy dla macierzy gęstych . . . . .	2
3.2 Adaptacja do struktury blokowej . . . . .	3
3.2.1 Warianty wyboru elementu głównego . . . . .	3
3.3 Analiza złożoności czasowej . . . . .	3
<b>4 Rozkład LU</b>	<b>4</b>
4.1 Teoria i związek z eliminacją Gaussa . . . . .	4
4.2 Adaptacja do struktury blokowej . . . . .	4
4.3 Rozwiązywanie układu przy pomocy LU . . . . .	4
4.4 Analiza złożoności czasowej . . . . .	5
<b>5 Wyniki eksperymentów</b>	<b>5</b>
5.1 Analiza czasu wykonania . . . . .	5
5.2 Analiza błędu względnego . . . . .	6
5.3 Wpływ rozmiaru bloku $l$ na wyniki . . . . .	7
<b>6 Wnioski</b>	<b>7</b>

# 1 Przedstawienie problemu

Zadanie polega na rozwiązyaniu układu równań liniowych postaci  $Ax = b$ , gdzie  $A \in \mathbb{R}^{n \times n}$  jest macierzą rzadką o specyficznej strukturze blokowej. Macierz  $A$  zdefiniowana jest następująco:

$$A = \begin{pmatrix} A_1 & C_1 & 0 & \dots & 0 \\ B_2 & A_2 & C_2 & \dots & 0 \\ \vdots & \ddots & \ddots & \ddots & \vdots \\ 0 & \dots & B_{v-1} & A_{v-1} & C_{v-1} \\ 0 & \dots & 0 & B_v & A_v \end{pmatrix} \quad (1)$$

gdzie  $n$  jest podzielne przez rozmiar bloku  $l$ , a  $v = n/l$  oznacza liczbę bloków wzdłuż głównej diagonali. Poszczególne bloki mają następującą charakterystykę:

- $A_k \in \mathbb{R}^{l \times l}$  – macierze gęstej.
- $B_k \in \mathbb{R}^{l \times l}$  – macierze rzadkie, posiadające elementy niezerowe jedynie w pierwszym wierszu i ostatniej kolumnie,
- $C_k \in \mathbb{R}^{l \times l}$  – macierze diagonalne.

Celem jest implementacja efektywnych algorytmów numerycznych uwzględniających rzadkość macierzy, tak aby zredukować złożoność obliczeniową ze standardowego  $O(n^3)$  do  $O(n)$ .

## 2 Struktura pamiętająca macierz

Dla dużych wartości  $n$  (rzędu  $10^6$ ) przechowywanie macierzy w postaci pełnej tablicy dwuwymiarowej jest nieefektywne i niemożliwe ze względu na ograniczenia pamięciowe komputera. Zaprojektowano strukturę **BlockMatrix**, która przechowuje wyłącznie niezerowe bloki macierzy. Struktura ta zawiera:

- Tablicę trójwymiarową dla bloków  $A_k$  o rozmiarze  $l \times l \times v$ .
- Tablicę trójwymiarową dla bloków  $B_k$  o rozmiarze  $l \times l \times v$ .
- Tablicę trójwymiarową dla bloków  $C_k$  o rozmiarze  $l \times l \times v$ .

Całkowita złożoność pamięciowa wynosi:

$$M(n) \approx v \cdot l^2 + v \cdot l^2 + v \cdot l^2 = 3 \cdot \frac{n}{l} \cdot l^2 = 3nl$$

Złożoność pamięciowa wynosi zatem  $O(n)$ , co jest optymalną wartością dla macierzy rzadkich tego typu.

## 3 Metoda eliminacji Gaussa

### 3.1 Algorytm bazowy dla macierzy gęstych

Klasyczna metoda eliminacji Gaussa dla macierzy gęstej  $A \in \mathbb{R}^{n \times n}$  polega na sprowadzeniu jej do postaci górnoprójkątnej  $U$  przy pomocy operacji elementarnych na wierszach.

W  $k$ -tym kroku algorytmu (dla  $k = 1, \dots, n - 1$ ) zerowane są elementy pod główną przekątną w  $k$ -tej kolumnie. Współczynnik zerujący (mnożnik) definiuje się jako  $m_{ik} = \frac{a_{ik}^{(k)}}{a_{kk}^{(k)}}$ , a następnie aktualizuje się wiersze:  $w_i \leftarrow w_i - m_{ik} \cdot w_k$  dla  $i > k$ . Standardowa złożoność tego procesu wynosi  $O(n^3)$ .

## 3.2 Adaptacja do struktury blokowej

W przypadku omawianej macierzy blokowej, eliminacja Gaussa została zmodyfikowana, aby wykorzystać fakt występowania licznych bloków zerowych. Proces przebiega następująco:

1. Iterujemy po blokach diagonalnych  $k$  od 1 do  $v - 1$ .
2. Wewnątrz bloku  $A_k$  wykonujemy lokalną eliminację Gaussa, sprowadzając go do postaci górnopróbkątkowej. Operacje na wierszach wewnątrz  $A_k$  są powielane na odpowiadających im wierszach bloku  $C_k$  oraz wektora  $b$ .
3. Następnie zerujemy blok  $B_{k+1}$  (znajdujący się pod  $A_k$ ), wykorzystując wiersze z przetworzonego bloku  $A_k$ . Ponieważ  $B_{k+1}$  znajduje się w tym samym wierszu blokowym co  $A_{k+1}$ , a  $A_k$  w tym samym co  $C_k$ , operacja  $Wiersz(B_{k+1}) - m \cdot Wiersz(A_k)$  powoduje modyfikację bloku  $A_{k+1}$  o wartości wynikające z  $C_k$ . Struktura bloków zerowych gwarantuje, że zmniejszenie rzadkości bloków nie propaguje się dalej niż do sąsiedniego bloku.

### 3.2.1 Warianty wyboru elementu głównego

- **Bez wyboru (GNP):** Pivotem jest zawsze element diagonalny  $a_{ii}$ .
- **Z częściowym wyborem (GPP):** W celu zmniejszenia błędu względnego, przed eliminacją  $i$ -tej kolumny w bloku  $A_k$ , wyszukiwany jest element o największym module w tej kolumnie (w zakresie wierszy należących do bieżącego bloku). Następuje zamiana wierszy w  $A_k$ ,  $C_k$ ,  $B_k$  (jeśli istnieje) oraz w wektorze  $b$ .

## 3.3 Analiza złożoności czasowej

Niech  $l$  będzie stałym rozmiarem bloku.

- Liczba kroków głównych pętli (liczba bloków) wynosi  $v = n/l$ .
- W każdym kroku wykonujemy operacje na macierzach rozmiaru  $l \times l$ . Koszt operacji wewnątrz bloku (mnożenia, dodawania, zamiany wierszy) zależy tylko od  $l$  i w pesymistycznym przypadku wynosi  $O(l^3)$ .
- Całkowity czas  $T(n)$  można oszacować jako:

$$T(n) \approx \frac{n}{l} \cdot l^3 = n \cdot l^2$$

Dla ustalonego, małego  $l$  (w zadaniu  $l \geq 2$ ), czynnik  $l^2$  jest stałą. Zatem całkowita złożoność czasowa wynosi  $O(n)$ .

## 4 Rozkład LU

### 4.1 Teoria i związek z eliminacją Gaussa

Rozkład LU jest metodą faktoryzacji macierzy  $A$  na iloczyn macierzy dolnotrójkątnej  $L$  (z jedynkami na przekątnej) i górnopróbkątnej  $U$ , tj.  $A = LU$ . Proces ten jest ściśle związany z eliminacją Gaussa. Przejście od macierzy  $A^{(k)}$  do  $A^{(k+1)}$  (kolejny krok eliminacji) można zapisać jako mnożenie przez macierz elementarną  $L^{(k)}$ :

$$A^{(k+1)} = L^{(k)} A^{(k)}$$

Proces sprowadzania macierzy  $A^{(1)}$  do macierzy górnopróbkątnej  $A^{(n)}$  (która oznaczamy jako  $U$ ) w  $n - 1$  krokach można zapisać:

$$U = L^{(n-1)} \dots L^{(2)} L^{(1)} A$$

Stąd otrzymujemy:

$$\begin{aligned} A &= (L^{(n-1)} \dots L^{(2)} L^{(1)})^{-1} U \\ A &= L^{(1)-1} L^{(2)-1} \dots L^{(n-1)-1} U \end{aligned}$$

Przyjmując  $L = L^{(1)-1} \dots L^{(n-1)-1}$ , otrzymujemy  $A = LU$ . W praktyce macierz  $L$  zawiera mnożniki używane podczas eliminacji Gaussa.

### 4.2 Adaptacja do struktury blokowej

Zaimplementowano algorytm rozkładu LU działający "w miejscu" (in-place). Elementy macierzy  $L$  i  $U$  są przechowywane w strukturze 'BlockMatrix' w następujący sposób:

- Macierz  $U$ : elementy na i nad główną przekątną bloków  $A_k$  oraz całe bloki  $C_k$ .
- Macierz  $L$ : elementy pod główną przekątną bloków  $A_k$  oraz całe bloki  $B_k$  (z domyślnymi jedynkami na głównej diagonali całego układu).

Podczas eliminacji bloku  $B_{k+1}$  przy użyciu  $A_k$ , wyliczone mnożniki są zapisywane w miejscu zerowanego bloku  $B_{k+1}$  (stając się fragmentem macierzy  $L$ ). Należy przy tym pamiętać o aktualizacji pozostały części bloku  $B_{k+1}$  oraz modyfikacji  $A_{k+1}$  o wpływ  $C_k$ .

Dla wariantu z częściowym wyborem elementu głównego (LUPP), algorytm wyznacza rozkład  $PA = LU$ , gdzie  $P$  jest macierzą permutacji. Implementacja zwraca w tym przypadku wektor permutacji  $p$ .

### 4.3 Rozwiązywanie układu przy pomocy LU

Po wyznaczeniu rozkładu, rozwiązanie układu  $Ax = b$  (lub  $PAx = Pb$ ) sprowadza się do rozwiązania dwóch układów trójkątnych:

1.  $Ly = b$  (dla LUPP:  $Ly = b[p]$ ) – podstawienie w przód. Wykorzystuje bloki  $B_k$  i dolne części  $A_k$ .
2.  $Ux = y$  – podstawienie wstecz. Wykorzystuje górne części  $A_k$  i bloki  $C_k$ .

## 4.4 Analiza złożoności czasowej

- **Faktoryzacja:** Przechodzi przez wszystkie  $n/l$  bloków raz. Złożoność  $O(n)$ .
- **Solver:** Wykonuje dwa przejścia przez bloki (w przód i w tył). Każde przejście to operacje na małych macierzach  $l \times l$ . Złożoność  $O(n)$ .

Łączna złożoność wynosi  $O(n)$ .

## 5 Wyniki eksperymentów

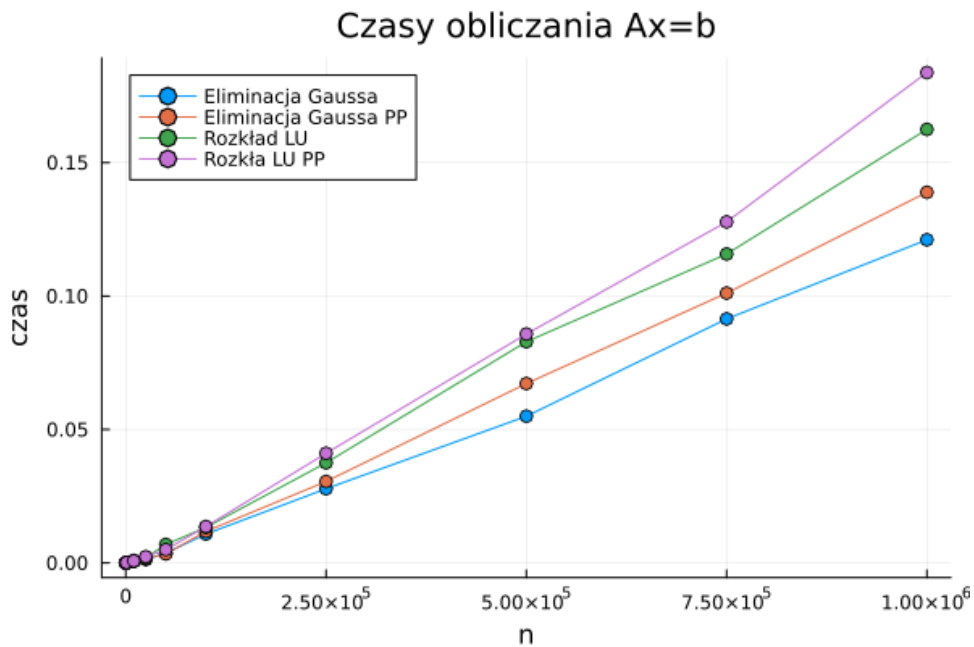
Testy wydajnościowe i dokładnościowe przeprowadzono dla macierzy dobrze uwarunkowanych o rozmiarach  $n \in \{10^3, 10^4, \dots, 10^6\}$  generowanych funkcją ‘blockmat’.

### 5.1 Analiza czasu wykonania

Poniższa tabela oraz wykres (Rysunek 1) prezentują czasy działania algorytmów.

Tabela 1: Czas wykonania algorytmów [s] w zależności od rozmiaru macierzy

$n$	GNP	GPP	LUNP	LUPP
16	$1.0 \cdot 10^{-6}$	$1.0 \cdot 10^{-6}$	$1.0 \cdot 10^{-6}$	$1.0 \cdot 10^{-6}$
1000	$9.1 \cdot 10^{-5}$	$1.03 \cdot 10^{-4}$	$1.22 \cdot 10^{-4}$	$1.39 \cdot 10^{-4}$
10000	$9.04 \cdot 10^{-4}$	$5.21 \cdot 10^{-4}$	$5.76 \cdot 10^{-4}$	$6.78 \cdot 10^{-4}$
50000	$2.65 \cdot 10^{-3}$	$3.05 \cdot 10^{-3}$	$3.36 \cdot 10^{-3}$	$3.90 \cdot 10^{-3}$
100000	$5.48 \cdot 10^{-3}$	$6.23 \cdot 10^{-3}$	$6.88 \cdot 10^{-3}$	$8.01 \cdot 10^{-3}$
500000	$2.92 \cdot 10^{-2}$	$3.34 \cdot 10^{-2}$	$3.67 \cdot 10^{-2}$	$4.17 \cdot 10^{-2}$
750000	$4.35 \cdot 10^{-2}$	$4.99 \cdot 10^{-2}$	$5.40 \cdot 10^{-2}$	$6.29 \cdot 10^{-2}$
1000000	$5.64 \cdot 10^{-2}$	$6.66 \cdot 10^{-2}$	$7.18 \cdot 10^{-2}$	$8.38 \cdot 10^{-2}$



Rysunek 1: Zależność czasu obliczeń od rozmiaru macierzy  $n$ .

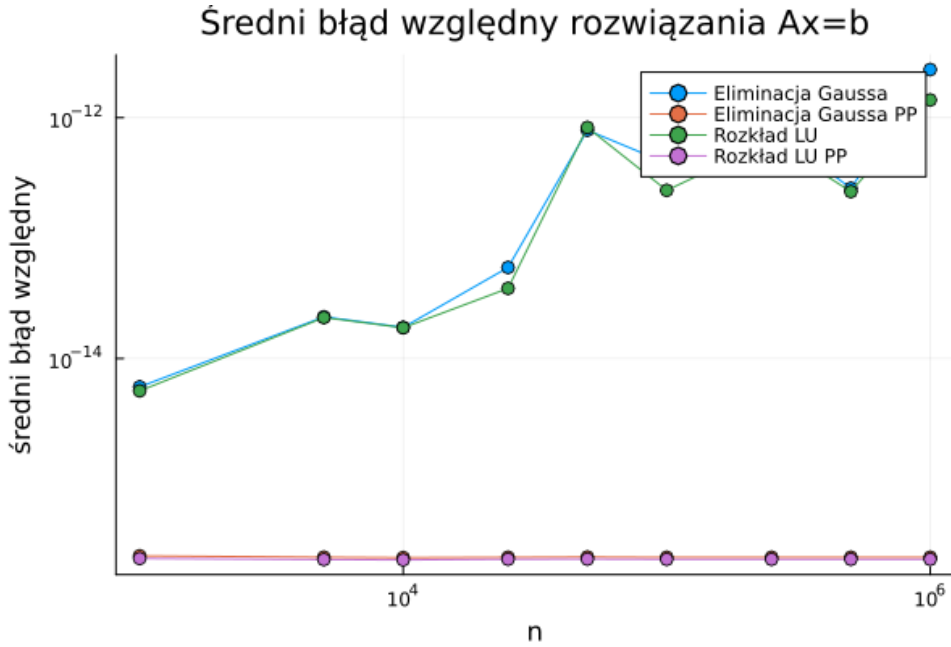
**Interpretacja:** Wyniki potwierdzają teoretyczną złożoność  $O(n)$  – czas rośnie liniowo wraz z rozmiarem problemu. Dla  $n = 10^6$  czas wynosi około 0.15s. Algorytmy z pivotingiem (GPP, LUPP) są nieznacznie wolniejsze od ich odpowiedników bez pivotingu (narzut na wyszukiwanie maksimum i permutacje), a rozkład LU jest nieco wolniejszy od eliminacji Gaussa (narzut strukturalny i dwuetapowość), lecz różnice te są rzędu stałego czynnika.

## 5.2 Analiza błędu względnego

Tabela 2 i wykres (Rysunek 2) przedstawiają błąd względny rozwiązania  $\frac{\|x_{obl} - x_{dokl}\|}{\|x_{dokl}\|}$ .

Tabela 2: Błędy względne algorytmów w zależności od rozmiaru macierzy

$n$	GNP	GPP	LUNP	LUPP
16	$6.64 \cdot 10^{-16}$	$2.76 \cdot 10^{-16}$	$5.12 \cdot 10^{-16}$	$4.86 \cdot 10^{-16}$
1000	$1.23 \cdot 10^{-14}$	$2.40 \cdot 10^{-16}$	$1.13 \cdot 10^{-14}$	$2.31 \cdot 10^{-16}$
10000	$1.67 \cdot 10^{-14}$	$5.24 \cdot 10^{-16}$	$2.32 \cdot 10^{-14}$	$5.17 \cdot 10^{-16}$
50000	$1.02 \cdot 10^{-13}$	$5.00 \cdot 10^{-16}$	$1.02 \cdot 10^{-13}$	$4.92 \cdot 10^{-16}$
100000	$2.54 \cdot 10^{-13}$	$4.66 \cdot 10^{-16}$	$1.70 \cdot 10^{-13}$	$4.58 \cdot 10^{-16}$
500000	$6.07 \cdot 10^{-13}$	$4.32 \cdot 10^{-16}$	$6.29 \cdot 10^{-13}$	$4.25 \cdot 10^{-16}$
750000	$5.30 \cdot 10^{-13}$	$4.12 \cdot 10^{-16}$	$3.78 \cdot 10^{-13}$	$4.05 \cdot 10^{-16}$
1000000	$7.06 \cdot 10^{-14}$	$4.11 \cdot 10^{-16}$	$8.64 \cdot 10^{-14}$	$4.03 \cdot 10^{-16}$

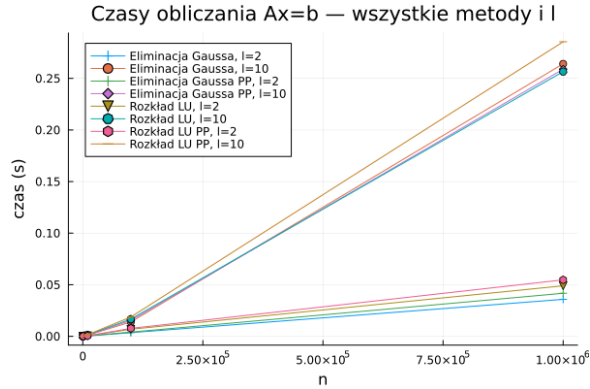


Rysunek 2: Zależność błędu względnego od rozmiaru macierzy  $n$  (skala logarytmiczna).

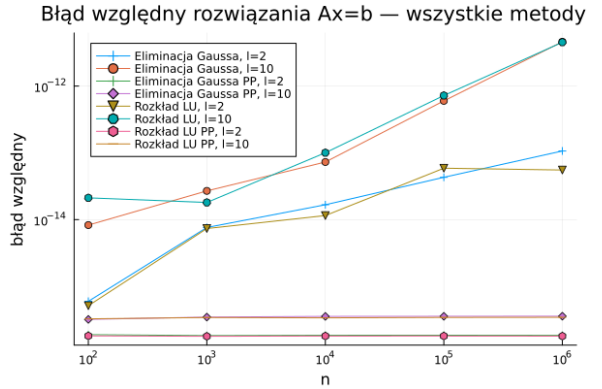
**Interpretacja:** Metody bez pivotingu (GNP, LUNP) wykazują wyraźny wzrost błędu wraz ze wzrostem  $n$ , osiągając poziom  $10^{-13}$ , co świadczy o błędach zaokrągleń. Metody z częściowym wyborem elementu głównego (GPP, LUPP) utrzymują błąd na poziomie precyzji maszynowej ( $10^{-16}$ ), co dowodzi ich wysokiej stabilności numerycznej.

### 5.3 Wpływ rozmiaru bloku $l$ na wyniki

W celu zbadania wpływu wielkości podmacierzy na działanie algorytmów, przeprowadzono dodatkowe testy dla rozmiarów bloku  $l = 2$  oraz  $l = 10$ . Poniższe wykresy prezentują porównanie czasów wykonania oraz błędów względnych dla wszystkich badanych metod.



Rysunek 3: Porównanie czasów obliczeń dla  $l = 2$  i  $l = 10$ .



Rysunek 4: Porównanie błędów względnych dla  $l = 2$  i  $l = 10$ .

Na podstawie wykresu 4 można stwierdzić, że rozmiar bloku  $l$  nie ma istotnego wpływu na stabilność numeryczną algorytmów. Błędy względne dla  $l = 10$  pozostają na tym samym poziomie rzędów wielkości, co dla  $l = 2$  (odpowiednio  $\approx 10^{-16}$  dla metod z pivotingu i wzrost dla metod bez pivotingu).

Wykres 3 pokazuje natomiast wyraźną korelację między rozmiarem bloku a czasem wykonania. Wzrost parametru  $l$  powoduje wydłużenie czasu obliczeń, co wynika ze zwiększonej liczby operacji wewnętrz bloków (złożoność operacji wewnętrz blokowych rośnie kwadratowo lub sześciennie względem  $l$ ). Przykładowo dla największej badanej macierzy  $n = 10^6$ :

- dla  $l = 2$  czas wynosi około  $0.05\text{ s}$ ,
- dla  $l = 10$  czas wzrasta do około  $0.25\text{ s}$ .

Mimo wzrostu czasu, zależność od głównego rozmiaru macierzy  $n$  pozostaje liniowa.

## 6 Wnioski

1. Zastosowanie struktury blokowej pozwoliło na zredukowanie złożoności czasowej i pamięciowej do  $O(n)$ , co umożliwia efektywne rozwiązywanie bardzo dużych układów równań.
2. Częściowy wybór elementu głównego jest niezbędny dla uniknięcia błędów wynikających z błędów zaokrągleń algorytmów, przy czym jego koszt obliczeniowy jest pomijalny.
3. Eliminacja Gaussa i rozkład LU dają bardzo zbliżone wyniki czasowe i jakościowe. Rozkład LU jest bardziej efektywny w przypadku konieczności wielokrotnego rozwiązywania układu z tą samą macierzą  $A$  (dopiero przy rozwiązywaniu układu  $LUX = b$  potrzebujemy wektora  $b$ ).